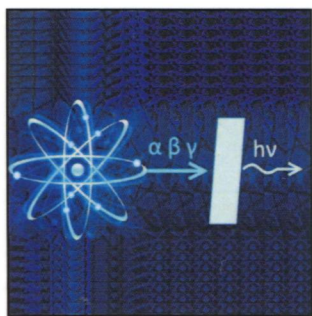


# ФИЗИКИ И ТЕХНИКИ

С.В. Никифоров,  
В.С. Кортов

Радиационно –  
индуцированные  
процессы в широкозонных  
нестехиометрических  
оксидных диэлектриках



ТЕХНОСФЕРА



# М ФИЗИКИ И ТЕХНИКИ Р

С.В. Никифоров,  
В.С. Кортов

Радиационно-индуцированные  
процессы в широкозонных  
нестехиометрических  
оксидных диэлектриках

ТЕХНОСФЕРА  
Москва  
2017

**УДК 539.21: 535.37**

**ББК 22.379: 22.345**

**Н63**

**Н63 Никифоров С.В., Кортов В.С.**

**Радиационно-индуцированные процессы в широкозонных нестехиометрических оксидных диэлектриках**

**Москва: ТЕХНОСФЕРА, 2017. – 272 с. ISBN 978-5-94836-490-2**

В книге рассмотрены радиационно-индуцированные процессы, возникающие при взаимодействии ионизирующих излучений с веществом, положенные в основу дозиметрических измерений. Особое внимание уделено методам твердотельной дозиметрии на основе термостимулированной люминесценции. Описаны механизмы образования анионных дефектов в объемных иnanoструктурных широкозонных оксидных диэлектриках, проведено сравнение их люминесцентных и дозиметрических свойств. Приведен обзор и анализ различных типов кинетических моделей термостимулированной люминесценции, в том числе основанных на конкурирующем влиянии глубоких ловушек. Описаны эффекты сенситизации люминесценции в широкозонных оксидах, обусловленные изменением заселенности глубоких центров. Представлены результаты, доказывающие решающую роль процессов температурно-зависимого захвата носителей заряда глубокими ловушками в формировании люминесцентных и дозиметрических свойств данного класса материалов. Приводятся сведения о дозиметрических характеристиках и применении термолюминесцентных детекторов ионизирующих излучений ТЛД-500К на основе анион-дефектного оксида алюминия.

Книга адресована широкому кругу читателей – специалистам по физике конденсированного состояния, радиационной физике диэлектрических материалов, инженерам, работающим в области индивидуальной, медицинской и технологической дозиметрии и радиационного мониторинга. Она может быть также полезна аспирантам и студентам старших курсов.

**УДК 539.21: 535.37**

**ББК 22.379: 22.345**

© 2017, С.В. Никифоров, В.С. Кортов

© 2017, АО «РИЦ «ТЕХНОСФЕРА», оригинал-макет, оформление

**ISBN 978-5-94836-490-2**

# **СОДЕРЖАНИЕ**

|  |           |
|--|-----------|
| Предисловие . . . . .  | 6         |
| Сведения об авторах . . . . .  | 10        |
| Список основных сокращений и обозначений . . . . .   | 11        |
| <b>Глава 1. Дозовые эффекты в конденсированных средах под действием излучений . . . . .</b>            | <b>12</b> |
| 1.1. Первичные процессы . . . . .  | 12        |
| 1.2. Вторичные процессы . . . . .  | 20        |
| <b>Глава 2. Методы радиационных измерений . . . . .</b>  | <b>29</b> |
| 2.1. Измерения мощности дозы . . . . .   | 29        |
| 2.1.1. Полупроводниковые детекторы . . . . .   | 29        |
| 2.1.2. Сцинтилляционные детекторы . . . . .  | 34        |
| 2.2. Измерения поглощенной дозы . . . . .  | 37        |
| 2.2.1. Калориметрический метод . . . . .   | 37        |
| 2.2.2. ЭПР-дозиметрия . . . . .  | 38        |
| 2.2.3. Люминесцентная дозиметрия . . . . .   | 41        |
| ТСЛ- и ОСЛ-дозиметрия . . . . .  | 41        |
| Радиофотолюминесцентная дозиметрия . . . . .   | 58        |
| 2.2.4. ТСЭЭ-дозиметрия . . . . .   | 60        |
| <b>Глава 3. Кинетические модели термостимулированной люминесценции . . . . .</b>                       | <b>62</b> |
| 3.1. Зонная схема обобщенной модели ТСЛ в широкозонных материалах . . . . .                            | 63        |
| 3.2. Дифференциальные кинетические уравнения . . . . .   | 64        |
| 3.3. Общие подходы к решению систем кинетических уравнений . . . . .                                   | 67        |
| 3.4. Кинетические параметры . . . . .  | 69        |
| 3.5. Краткий обзор основных типов кинетических моделей ТСЛ . . . . .                                   | 71        |
| 3.6. Кинетические модели ТСЛ с учетом конкурирующего влияния глубоких ловушек . . . . .                | 73        |
| 3.6.1. Модель конкурирующих электронных ловушек . . . . .  | 73        |
| 3.6.2. Модель конкурирующих центров рекомбинации . . . . .   | 79        |
| 3.6.3. Модель одновременной конкуренции между электронными ловушками и центрами рекомбинации . . . . . | 82        |
| <b>Глава 4. Люминесцентные свойства нестехиометрических оксидных диэлектриков . . . . .</b>            | <b>86</b> |
| 4.1. Способы создания анионных дефектов в оксидах . . . . .  | 87        |
| 4.2. Центры люминесценции в анион-дефектных монокристаллах оксида алюминия . . . . .                   | 89        |



|   |            |
|---|------------|
| 4.3. Люминесцирующие керамики оксидов алюминия, циркония и магния . . . . .   | 96         |
| 4.3.1. Анион-дефектная ультрадисперсная керамика оксида алюминия . . . . .  | 96         |
| 4.3.2. Наноструктурный моноклинный диоксид циркония . . . . .   | 102        |
| 4.3.3. Ультрадисперсная керамика оксида магния . . . . .  | 105        |
| 4.4. Глубокие ловушки в широкозонных оксидах . . . . .  | 111        |
| <b>Глава 5. Эффекты сенситизации и десенситизации термoluminesценции в облученных оксидных диэлектриках . . . . .</b>                       | <b>114</b> |
| 5.1. Высокотемпературная ТСЛ в анион-дефектном оксиде алюминия после возбуждения различными видами излучений . . . . .                      | 115        |
| 5.1.1. УФ-облучение . . . . .   | 115        |
| 5.1.2. Рентгеновское излучение . . . . .  | 120        |
| 5.1.3. Импульсный электронный пучок . . . . .   | 121        |
| 5.2. Влияние заселенности глубоких ловушек на ТСЛ дозиметрического пика в оксиде алюминия . . . . .   | 123        |
| 5.2.1. Сенситизация ТСЛ после заполнения глубоких ловушек при постоянной температуре . . . . .  | 124        |
| 5.2.2. Сенситизация ТСЛ после ступенчатого заполнения и опустошения глубоких ловушек при разных температурах . . . . .                      | 127        |
| Заполнение глубоких ловушек УФ-излучением . . . . .   | 128        |
| Заполнение глубоких ловушек рентгеновским излучением . . . . .  | 129        |
| Заполнение глубоких ловушек импульсным электронным пучком . . . . .   | 130        |
| 5.3. Электронные и дырочные глубокие центры захвата в анион-дефектном оксиде алюминия . . . . .   | 132        |
| 5.4. Роль дырочных ловушек в ТСЛ дозиметрического пика в АДК оксида алюминия . . . . .  | 137        |
| 5.5. Сенситизация ТСЛ мелких ловушек в АДК оксида алюминия . . . . .  | 146        |
| 5.6. ТСЛ глубоких ловушек и сенситизация в анион-дефектном оксиде магния . . . . .  | 152        |
| <b>Глава 6. Температурная зависимость процессов конкурирующего взаимодействия ловушек в облученных широкозонных оксидах . . . . .</b>       | <b>158</b> |
| 6.1. Температурная зависимость вероятности захвата носителей заряда на глубокие центры в модели конкурирующих электронных ловушек . . . . . | 158        |
| 6.2. Тушение ТСЛ в дозиметрическом пике оксида алюминия . . . . .   | 161        |
| 6.2.1. Радиационно окрашенные монокристаллы . . . . .   | 161        |
| 6.2.2. Ультрадисперсная анион-дефектная керамика . . . . .  | 163        |
| 6.3. Тушение ТСЛ глубоких ловушек . . . . .   | 164        |
| 6.4. Особенности фототрансферной термoluminesценции . . . . .   | 170        |

|  |            |
|--|------------|
| 6.5. Роль глубоких ловушек в формировании сверхлинейности дозовой зависимости ТСЛ . . . . .  | 174        |
| 6.5.1. Результаты эксперимента . . . . .   | 175        |
| 6.5.2. Результаты расчета . . . . .  | 177        |
| 6.6. Температурная ионизация F-центров в анион-дефектном оксиде алюминия . . . . .   | 181        |
| 6.6.1. Экспериментальные подтверждения термической ионизации F-центров . . . . .   | 182        |
| 6.6.2. Зонная схема и математическое описание модели . . . . .   | 184        |
| 6.6.3. Результаты моделирования . . . . .  | 188        |
| Температурная зависимость заполнения ловушек . . . . .   | 188        |
| Температурное тушение люминесценции . . . . .  | 189        |
| 6.7. Безызлучательная релаксация электронных возбуждений в моноклинном диоксиде циркония . . . . .   | 190        |
| 6.7.1. Зависимость квантового выхода ФЛ от температуры . . . . .   | 192        |
| 6.7.2. ТСЛ наноструктурного диоксида циркония и ее кинетические параметры . . . . .  | 193        |
| 6.7.3. Влияние скорости нагрева на светосумму ТСЛ наноструктурного диоксида циркония . . . . .   | 195        |
| 6.7.4. Физическая интерпретация механизма и параметров температурного тушения люминесценции . . . . .  | 198        |
| <b>Глава 7. Применение детекторов ТЛД-500К на основе анион-дефектного оксида алюминия в люминесцентной дозиметрии ионизирующих излучений . . . . .</b> | <b>202</b> |
| 7.1. Индивидуальная дозиметрия . . . . .   | 203        |
| 7.2. Высокодозные измерения . . . . .  | 209        |
| 7.3. Модификация дозиметрических свойств детекторов . . . . .  | 215        |
| 7.3.1. Термооптическая обработка . . . . .   | 215        |
| 7.3.2. Повторное измерение дозиметрического ТСЛ-сигнала . . . . .  | 218        |
| 7.3.3. Термолучевая подготовка детекторов к экспозициям . . . . .  | 220        |
| 7.3.4. Методика измерения дозы тепловых нейтронов и смешанных полей . . . . .  | 222        |
| Литература . . . . .   | 227        |
| Предметный указатель . . . . .   | 260        |